

УДК 662.58

ВОСПЛАМЕНЕНИЕ ГАЗОВЗВЕСИ ЧАСТИЦ МЕТАЛЛОВ

*В. Б. Либрович, В. И. Лисицын, Б. И. Хайкин*

(Москва)

Воспламенение газовзвеси частиц, реагирующих по гетерогенному механизму, рассматривалось в [1-4]. Предполагалось, что скорость реакции на поверхности отдельных частиц не зависит от толщины окисной пленки или пленка не образуется — продукты реакции газообразны. При окислении многих металлов образующаяся окисная пленка препятствует реакции — с ее нарастанием скорость реакции уменьшается. Особенности процесса воспламенения одиночных частиц металлов, возникающие из-за влияния окисной пленки, рассматривались в [5], где было показано, что зависимость скорости реакции от толщины пленки существенно влияет на закономерности воспламенения одиночных частиц.

В данной работе исследуется процесс воспламенения газовзвеси частиц металлов, окисляющихся по так называемому параболическому закону (скорость реакции обратно пропорциональна толщине окисной пленки). Результаты сравниваются с закономерностями воспламенения газовзвеси частиц, реагирующих по чисто гетерогенному механизму, в отсутствие пленки окисла.

**1. Постановка задачи.** Рассмотрим воспламенение газовзвеси в сосуде, предполагая, что температура газа по всему объему одинакова, а теплопотери из сосуда пропорциональны разности температур газа и стенок сосуда.

Считая, что все частицы одинакового размера и распределены в сосуде равномерно, запишем уравнения прогрева отдельной частицы, баланса тепловой энергии газа и скорости роста окисной пленки

$$(1.1) \quad \frac{d\theta}{d\tau} = \frac{1}{z^n} \exp \frac{\theta}{1 + \beta\theta} - \frac{\theta - \theta_g}{\Omega}$$

$$(1.2) \quad \frac{d\theta_g}{d\tau} = \frac{B}{1 - B} \frac{\theta - \theta_g}{\Omega} - \frac{B}{1 - B} \frac{\theta_g - \theta_w}{A\Omega}$$

$$(1.3) \quad \frac{dz}{d\tau} = \frac{1}{z^n} \exp \frac{\theta}{1 + \beta\theta}$$

с начальными условиями

$$(1.4) \quad \tau = 0, \quad \theta = \theta_0, \quad \theta_g = \theta_{g0}, \quad z = z_0$$

$$\theta = \frac{E}{RT_*^2} (T - T_*), \quad \theta_g = \frac{E}{RT_*^2} (T_g - T_*),$$

$$z = \frac{3\delta}{r} \frac{QE}{cRT_*^2}, \quad z_0 = z(\hat{\theta}_0)$$

$$\tau = \left( \frac{3QE}{cRT_*^2} \right)^{n+1} t \frac{k\sigma_0 m}{r^{n+1}} \exp \left( - \frac{E}{RT_*} \right), \quad B = \frac{4/3\pi r^3 c \rho N}{c_g \rho_g + 4/3\pi r^3 c \rho N}$$

$$\Omega = \left( \frac{3QE}{cRT_*^2} \right)^{n+1} \frac{c\rho}{3\lambda_g} \frac{k\sigma_0 m}{r^{n-1}} \exp \left( - \frac{E}{RT_*} \right), \quad \beta = \frac{RT_*}{E}$$

$$A = \frac{\lambda_g}{2r} Nu 4\pi r^2 NV / a_w S \approx \frac{\rho_g}{\rho} \frac{B}{1 - B} \frac{Nu}{Nu_w} \left( \frac{L}{r} \right)^2$$

Здесь  $T$ ,  $T_g$ ,  $T_w$  — температура частиц, газа и стенок сосуда соответственно;  $T_*$  — масштабная температура, выбор которой пояснен в ходе решения;  $B$  — массовая концентрация частиц во взвеси;  $\delta_0$ ,  $\delta$  — начальная и текущая толщина окисной пленки;  $r$  — характерный размер частицы;  $\lambda_g$  — коэффициент теплопроводности газа;  $c$ ,  $c_g$  — удельные теплоемкости частиц и газа;  $\rho$ ,  $\rho_g$  — плотности частиц и газа;  $Q$  — тепловой эффект реакции на грамм окисла, умноженный на отношение плотностей окисла и металла;  $Nu$ ,  $Nu_w$  — числа Нуссельта теплообмена частиц с газом и газовзвеси со стенками сосуда соответственно;  $E$  — энергия активации;  $k$  — предэкспонент в кинетическом законе скорости роста окисной пленки;  $c_0$  — концентрация окислителя у поверхности частицы;  $m$  — порядок реакции по окислителю;  $\alpha_w$  — коэффициент теплоотдачи от газовзвеси к стенкам сосуда  $\alpha_w = Nu_w \lambda_g / L$ ;  $L$ ,  $V$  — характерный размер и объем сосуда;  $S$  — поверхность теплоотдачи сосуда;  $N$  — число частиц в единице объема газовзвеси;  $t$  — время;  $n$  — показатель в законе окисления ( $n = 1$  — параболический закон окисления).

Первый член правой части (1.1) описывает диффузионный режим окисления металлической частицы, в котором скорость реакции лимитируется диффузией окислителя через пленку окисла; коэффициент диффузии предполагается зависящим от температуры по формуле Аррениуса с энергией активации  $E$ . Это выражение входит и в уравнение скорости роста пленки окисла. Остальные члены уравнений описывают теплообмен частиц с газом и газовзвеси со стенками сосуда.

Система (1.1) — (1.3) записана в приближении двухтемпературной сплошной среды. Это накладывает ограничение на массовую концентрацию частиц, поскольку расстояние между частицами в таком приближении должно быть больше размера частиц (при давлениях порядка 1 атм  $B \leqslant 0.4\text{--}0.5$ ).

**2. Воспламенение теплоизолированной взвеси.** Рассмотрим случай, когда можно пренебречь теплоотдачей в стенки сосуда. Как показывает анализ, это можно делать, например, если температура стенок  $T_w$  превышает критическую температуру воспламенения, обусловленную теплопотерями от всей газовзвеси, на несколько характеристических интервалов  $RT_w^2 / E$ , так что сильное возрастание скорости реакции происходит до того, как начинает осуществляться интенсивный теплообмен со стенками сосуда. Из системы (1.1) — (1.3) получаем баланс полной энергии газовзвеси в виде

$$(2.1) \quad z - z_0 = (\theta - \theta_0) + (1 - B) B^{-1} (\theta_g - \theta_{g0})$$

Из оставшихся двух уравнений время исключается делением (1.1) на (1.3)

$$(2.2) \quad \frac{d\theta}{dz} = 1 - z \exp\left(-\frac{\theta}{1 + \beta\theta}\right) \left[ \frac{\theta - Bz}{1 - B} + \frac{B}{1 - B} (z_0 - \theta_0) - \theta_{g0} \right] / \Omega$$

Проинтегрировать уравнение (2.2) в аналитическом виде не удается. Были проведены численные расчеты, которые позволили обнаружить ряд особенностей процесса воспламенения и приближение, с помощью которого можно аналитически оценить время воспламенения.

В дальнейшем пренебрежем малым параметром  $z_0$  (согласно [5]  $z_0 \ll 1$ ). Сначала рассмотрим случай одинаковых начальных температур частиц и газа, а затем результаты обобщим с учетом их различия.

Выбирая  $T_*$  равной  $T_0$ , получим  $\theta_0 = \theta_{g0} = 0$ . В этом случае поведение интегральных кривых уравнения (2.2) зависит от двух параметров — массовой концентрации частиц  $B$  и безразмерной скорости химической реакции  $\Omega$ .

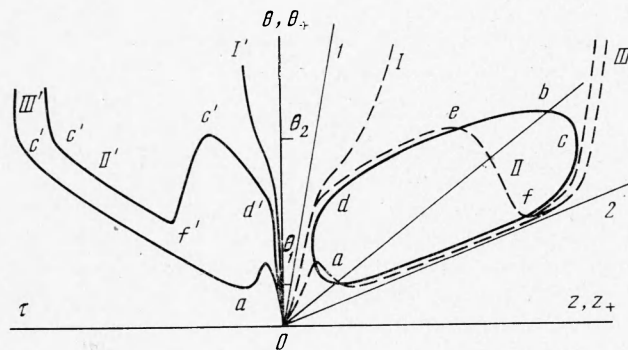
Классификацию различных типов интегральных кривых и соответствующих им режимов воспламенения целесообразно связать с относительным расположением интегральных кривых и нулевой изоклины уравнения (2.2). Полагая в (2.2)  $d\theta / dz = 0$ , получим

$$(2.3) \quad z = \frac{1}{2B} \left[ \theta_+ \pm \sqrt{\theta_+^2 - 4u \exp \frac{\theta_+}{1 + \beta\theta_+}} \right], \quad u = B(1 - B)\Omega$$

Значения величин на изоклине отмечены индексом «плюс» для отличия от соответствующих величин на интегральной кривой. Нулевая изоклина существует при

$$(2.4) \quad u < u_0 = \exp \left( -\frac{2}{1 - 4\beta} \right) / (1 - 4\beta)^2$$

и представляет собой замкнутую кривую, во внутренней области которой для интегральных кривых  $d\theta / dz < 0$ , во внешней  $d\theta / dz > 0$  (изоклина  $\theta_+(z_+)$ ) и интегральные кривые  $\theta(z)$  нанесены на правой половине фиг. 1, зависимость температуры частиц от времени в различных режимах — на левой).



Фиг. 1

Прямые 1 и 2 на фиг. 1 ограничивают область, в которой могут располагаться интегральные кривые (2.2). Прямая 1, ограничивающая область сверху, соответствует уравнению  $\theta = z$  и разогреву частиц без теплообмена с газом ( $\Omega \rightarrow \infty$ ). Прямая 2 соответствует гомогенному разогреву всей газовзвеси ( $\Omega \rightarrow 0$ ), при котором  $\theta = \theta_g$ , и описывается уравнением  $\theta = Bz$ ; она ограничивает область снизу.

Проследим поведение интегральных кривых при разных значениях параметров  $B$  и  $\Omega$  и дадим качественное описание соответствующих режимов воспламенения. Все интегральные кривые выходят с положительной производной из начала координат. При больших значениях параметра  $\Omega$  производная  $d\theta / dz$  при движении вдоль интегральной кривой остается все время положительной (кривая  $I, I'$  на фиг. 1). Это означает, что происходит монотонный рост температуры частиц — нарастание окисной пленки не препятствует развитию химической реакции. Этот режим воспламенения (режим I) аналогичен режиму воспламенения одиночных частиц металла.

При меньших значениях параметра  $\Omega$  производная  $d\theta / dz$  вдоль интегральной кривой уменьшается и при некотором  $\Omega$  обращается в нуль (при этом интегральная кривая касается нулевой изоклины в точке  $b$ , соответствующей максимуму кривой изоклины). Это означает, что рост

окисной пленки и теплоотдача от частиц к газу начинают препятствовать прогрессирующему развитию химической реакции, происходящему вследствие разогрева частицы. При дальнейшем уменьшении  $\Omega$  интегральная кривая пересекает изоклину (причем, чем меньше  $\Omega$ , тем дальше от точки  $b$  отстоит точка пересечения  $e, e'$ ) и попадает в область, где  $d\theta / dz < 0$ . В ней вследствие роста окисной пленки происходит снижение температуры частиц до тех пор, пока интегральная кривая не пересекает нижнюю ветвь нулевой изоклины (точка  $f, f'$ ). После повторного пересечения  $d\theta / dz$  вновь становится положительной, а интегральная кривая движется при этом вдоль нулевой изоклины вплоть до температуры, отвечающей точке  $c, c'$ . Описанный тип интегральных кривых ( $II, II'$  на фиг. 1) соответствует режиму  $II$ .

На участках  $de, d'e'$  и  $fc, f'c'$  интегральная кривая проходит вблизи нулевой изоклины, где  $d\theta / dz \ll 1$ . Это означает, что саморазогрев газовзвеси протекает квазистационарно: в каждый момент между частицами и газом существует тепловое равновесие, медленно смещающееся за счет накопления тепла в газе и роста окисной пленки. В дальнейшем стадии  $de$  и  $fc$  будем называть высокотемпературной квазистационарной (ВКСС) и низкотемпературной квазистационарной стадиями (НКСС) соответственно.

На стадии ВКСС скорость окисления и перепад между температурой частиц и газа велики по сравнению с аналогичными характеристиками на стадии НКСС (линия  $\theta_g(z)$  всегда расположена ниже прямой 2 на фиг. 1). В ходе предвзрывного разогрева в стадии НКСС достигаются условия (температура  $\theta_2$ , точка  $c$ , фиг. 1), при которых тепловое равновесие становится невозможным и происходит воспламенение газовзвеси — резкий отрыв температуры частиц от температуры газа.

При еще большем уменьшении параметра  $\Omega$  точка пересечения интегральной кривой нулевой изоклины смещается к точке минимума нулевой изоклины  $a$  и интегральная кривая проходит вдоль всей нижней половины нулевой изоклины. Этот случай отвечает сильному торможению окисной пленкой химической реакции.

Стадии НКСС (участок  $ac, a'c'$ ) в этом режиме предшествует нестационарный процесс окисления с переходом температуры частиц через максимум и минимум. Основной вклад в период индукции в этом режиме (режим  $III$ ) вносит стадия НКСС. Численное решение полной системы (1.1) — (1.3) показывает, что на стадию НКСС газовзвесь выходит при температуре, близкой к  $\theta_1$  (точка  $a$  на фиг. 1).

Процесс предвзрывного разогрева при воспламенении газовзвеси частиц, реагирующих по гетерогенному механизму ( $n = 0$ ), также может протекать квазистационарно [3]; отличие состоит в том, что смещение равновесия происходит только за счет накопления тепла в газе, а выход на стадию НКСС — без прохождения температурой частиц максимума и минимума.

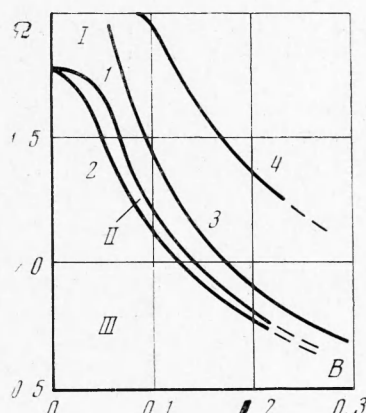
Границы, разделяющие режимы  $I, II, III$ , рассчитывались численно (линии 1, 2 на фиг. 2). Режим  $I$  реализуется в области параметров выше линии 1, режим  $III$  — ниже линии 2; режиму  $II$  соответствует узкая область параметров между линиями 1 и 2. Изоклина существует в области параметров ниже линии 3 (см. (2.4)). В режиме  $I$  при достаточно больших значениях параметра  $\Omega$  (выше линии 4) каждая частица воспламеняется почти в адиабатических условиях.

Различие между режимами  $I, II, III$  по периодам индукции и температурам существенно лишь в случае, когда изоклина занимает достаточно большой интервал по  $\theta$  и  $z$ . Ниже показано, что размеры изоклины определяются степенью удаления от предела существования изоклины (линия

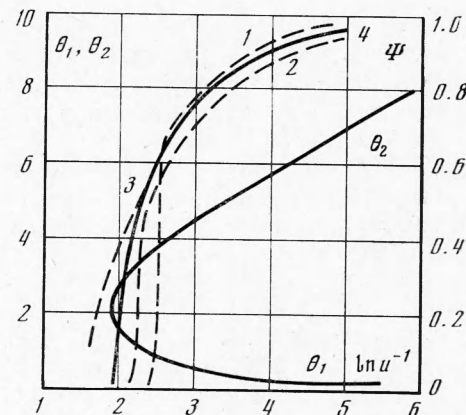
$\beta$  на фиг. 2). Границы I и II на фиг. 2 с ростом концентрации частиц приближаются к пределу  $\beta$ , и различие между режимами исчезает.

Квазистационарность предвзрывного разогрева в режиме III дает возможность получить приближенное аналитическое выражение для периода индукции.

Проведем дальнейшие выкладки с использованием разложения Франк-Каменецкого [6]  $\beta = 0$ . Оценим величину квазистационарного интервала



Фиг. 2



Фиг. 3

$[\theta_1, \theta_2]$ . Вычисляя из (2.3)  $d\theta_+ / dz_+$  и полагая  $d\theta_+ / dz_+ = 0$  при  $\theta = \theta_1$ ,  $d\theta_+ / dz_+ = \infty$  при  $\theta = \theta_2$ , получим следующие соотношения, определяющие  $\theta_1$  и  $\theta_2$

$$(2.5) \quad \ln [(\theta_2 - 1) / u] = \theta_2, \quad \ln (\theta_1^2 / 4u) = \theta_1$$

Графическое решение обоих уравнений изображено на фиг. 3. С удалением от предела существования изоклины ( $\ln u^{-1} = 2$ ) температурный квазистационарный интервал ( $\theta_2 - \theta_1$ ) увеличивается, а с приближением к пределу уменьшается как  $(\ln u^{-1} - 2)^{1/2}$ .

Температуры  $\theta_1$  и  $\theta_2$  зависят от массовой концентрации частиц в отличие от газовзвеси частиц, реагирующих по гетерогенному механизму [3]. Это объясняется тем, что скорость окисления частицы при данной температуре зависит от того, как происходил разогрев частицы до этой температуры.

Чтобы получить приближенную формулу периода индукции ( $\tau_i$ ), проинтегрируем систему уравнений (1.1) — (1.3), полагая в (1.1)  $d\theta / d\tau = 0$

$$(2.6) \quad \tau_i = \frac{1}{B} \int_{\theta_1}^{\theta_2} z(\theta) \exp(-\theta) d\theta - \frac{\Omega(1-B)}{B} \int_{\theta_1}^{\theta_2} \left[ 1 - \frac{d \ln z}{d\theta} \right] d\theta$$

где  $z(\theta)$  — уравнение интегральной кривой в плоскости  $\theta z$  (фиг. 1). Учитывая, что в НКСС интегральная кривая I близка к изоклине, в (2.6) можно подставить  $z(\theta)$ , определенное из (2.3). Полученное при этом выражение упрощается, если пренебречь различием температур частиц и газа. Формально это следует из (2.3) при  $\ln u^{-1} \gg 2$ , когда второе слагаемое в подкоренном выражении мало по сравнению с первым, а (2.3) приближенно совпадает с соотношением (2.1), записанным для гомоген-

ной газовзвеси  $z_+ = \theta_+ / B$ . Интегрирование (2.6) дает

$$(2.7) \quad \tau_i = \frac{1}{B^2} \times \left\{ [(1+\theta_1) \exp(-\theta_1) - (1+\theta_2) \exp(-\theta_2)] + u \left[ \ln \frac{\theta_2}{\theta_1} - (\theta_2 - \theta_1) \right] \right\}$$

Функция  $\Psi(\ln u^{-1})$  нанесена на фиг. 3 (кривая 4). Сравнение численных расчетов периода индукции в зависимости от  $\Omega$  и  $B$  на ЭВМ (пунктирные линии 1, 2, 3 на фиг. 3 соответствуют  $B = 0.05, 0.091, 0.17$ ) и по формуле (2.7) показывает, что приближенное решение (2.7) близко к точному в режиме III и сильно отличается от него в режимах I и II.

Резкое изменение периода индукции в узких интервалах по  $\Omega$  и  $B$  (численное решение) связано с переходом из режима III в I через режим II.

В газовзвеси частиц, реагирующих по гетерогенному механизму (этот случай получается, если в исходной системе  $n = 0$ ), режим II отсутствует, а переход из режима III в I происходит плавно, без резких изменений, поскольку на границе, разделяющей режимы I и III, величина квазистационарного интервала  $(\theta_2 - \theta_1)$  обращается в нуль. В случае  $n = 1$  величина  $(\theta_2 - \theta_1)$  обращается в нуль на линии 3 (фиг. 2), а переход из режима III в I происходит в области II, которая не пересекается с линией 3.

С увеличением концентрации частиц период индукции в газовзвеси при  $n = 1$  сокращается сильнее ( $\tau_i \sim B^{-2}$ ), чем при  $n = 0$  ( $\tau_i \sim B^{-1}$  [3]). Это различие обусловлено тем, что в случае  $n = 1$  концентрация частиц влияет не только на полную реакционную поверхность частиц, как это было для  $n = 0$  [3], но и на толщину окисной пленки и величину квазистационарного температурного интервала  $(\theta_2 - \theta_1)$ .

По формуле (2.7) можно оценить влияние на период индукции температуры плавления  $\theta_m$ , при которой окисная пленка теряет защитные свойства. Если температура  $\theta_m$  попадает в интервал  $[\theta_1, \theta_2]$ , то в (2.7)  $\theta_2$  нужно заменить на  $\theta_m$ .

При этом период индукции сокращается, а на зависимости  $\tau_i(\Omega, B)$  появляется излом, соответствующий равенству  $\theta_2(\Omega, B) = \theta_m$ .

При воспламенении частиц без тормозящего влияния окисной пленки срыв со стадии НКСС происходит при температуре воспламенения одиночной частицы ( $T_i$ ). Для частиц металлов с окисной пленкой это не выполняется. Чтобы убедиться в этом, выразим безразмерную температуру воспламенения одиночной частицы  $\theta_i = (E/RT_0^2)(T_i - T_0)$  через  $\Omega$ . Заданному значению параметра  $\Omega$  соответствует начальная температура  $T_0 = ER^{-1}\ln\Omega^{-1} + \text{const}$ . В [5] показано, что при  $\Omega = 1.57$   $T_0$  равна температуре воспламенения одиночной частицы  $T_i$ . Выражая  $(T_i - T_0)$  через  $\Omega$ , получим  $\theta_i = (T_i/T_0)\ln(1.57/\Omega)$ . Сравнение аналитических выражений для  $\theta_i$  и  $\theta_2$  показывает, что  $\theta_i < \theta_2$ .

В качестве примера проведем расчет, используя теплофизические и кинетические константы из [7]

$$\begin{aligned} c &= 0.214 \text{ кал/г·град}, \rho = 2.7 \text{ г/cm}^3, \\ \lambda_g &= 2.4 \cdot 10^{-4} \text{ кал/см·сек·град}, Q = 4600 \text{ кал/г} \\ E &= 33000 \text{ кал/моль}; \\ kc_0^m \exp(-E/RT_0) &= 0.65 \cdot 10^{-3} \exp(-33000/RT_0) \text{ см}^2/\text{сек} \end{aligned}$$

Температура воспламенения одиночной частицы, соответствующая этим константам, равна  $1300^\circ\text{K}$ . Если начальная температура  $1000^\circ\text{K}$ , то  $\Omega \approx 0.04$ . При таких значениях  $\Omega$  газовзвесь будет воспламеняться по

режиму III с периодом индукции (при  $B \approx 0.1$  и  $r = 4 \cdot 10^{-3} \text{ см}$ )  $t_i \approx 27 \text{ сек}$ , что на два порядка больше адиабатического периода индукции одиночной частицы.

Перейдем к случаю различных начальных температур частиц и газа. При  $T_0 < T_{g0}$  имеются те же три режима воспламенения. Рассмотренным выше стадиям предшествует процесс выравнивания температуры частиц и газа, причем температура выравнивания близка к температуре инертного смешения  $T_k = BT_0 + (1 - B)T_{g0}$ . После инертного прогрева частиц до  $T_k$  газовзвесь выходит на стадию НКСС за счет химических реакций. Поскольку при  $T_0 < T_{g0}$  температура  $T_k$  меньше  $T_0$ , то толщина окисной пленки к моменту выхода на НКСС будет больше, чем при равных начальных температурах частиц и газа. Вследствие этого скорость тепловыделения в газовзвеси уменьшается и время достижения температуры срыва с НКСС увеличивается и, кроме того, во времени пребывания в НКСС прибавляется время прогрева частиц до  $T_k$ . Как показывают расчеты, при развитой стадии НКСС это время мало по сравнению с временем квазистационарного развития процесса и им можно пренебречь.

Выбирая за масштабную температуру  $\bar{T}_*$  начальную температуру газа и определяя  $z_+(\theta_+)$ ,  $\theta_1$ ,  $\theta_2$ ,  $\tau_i$  по схеме, изложенной выше, можно показать, что период индукции выражается через функцию  $\Psi$

$$(2.8) \quad \tau_i = \frac{1}{B^2} \exp \left( \frac{B}{1-B} |\theta_0| \right) \Psi \left[ \ln u^{-1} + \frac{B}{1-B} |\theta_0| \right]$$

**3. Влияние теплоотвода и выгорания.** Воспламенение газовзвеси частиц с пленкой окисла, так же как и частиц, реагирующих по гетерогенному механизму [2, 3], ограничивается теплоотводом в стенки сосуда и выгоранием частиц.

При наличии теплоотвода нельзя получить соотношения (2.1), определяющего полный запас энергии в системе. Однако при протекании процесса по режиму III температуры частиц и газа на стадии НКСС отличаются незначительно, что позволяет выделить параметр, определяющий критические условия в той области параметров, где температура воспламенения взвеси меньше температуры воспламенения одиночной частицы. Вводя новые переменные  $x = \tau [B(1-B)^{-1}]^2$ ,  $y = zB(1-B)^{-1}$  и складывая уравнение (1.1), умноженное на  $B(1-B)^{-1}$ , с уравнением (1.2), вместо (1.1) — (1.3) получим

$$(3.1) \quad \frac{d(\theta_g + B\theta/(1-B))}{dx} = \frac{1}{y} \exp \left[ \frac{\theta}{1+\beta\theta} \right] - \frac{1-B}{B} \frac{\theta_g - \theta_w}{A\Omega}$$

$$(3.2) \quad dy/dx = \frac{1}{y} \exp \left[ \frac{\theta}{1+\beta\theta} \right]$$

$$(3.3) \quad x = 0, \quad \theta = \theta_g = 0, \quad y = Bz_0/(1-B) \ll 1$$

Критическое условие воспламенения представляет собой связь между параметрами задачи (3.1) — (3.3)

$$(3.4) \quad A\Omega B / (1-B) = f [\beta, z_0 B / (1-B), B / (1-B)]$$

Пренебрегая различием между температурой частиц и газа, видим, что вместо параметра  $B / (1-B)$ , стоящего под производной в (3.1), появляется параметр  $1 / (1-B)$ , который несуществен при малых концентрациях. Малый параметр  $z_0 B / (1-B)$  также слабо влияет на критическое условие, поэтому при фиксированном значении  $\beta$  правая часть

соотношения (3.4) — константа. Численное решение полной системы (1.1) — (1.4) при  $\beta = 0$  удовлетворительно согласуется с приближенным результатом (3.4), если положить  $f = 1.2$ .

Критические условия по теплоотводу для газовзвеси частиц, реагирующих по гетерогенному механизму, связаны с невозможностью стационарного протекания реакции, а для газовзвеси металлических частиц — с существованием температуры срыва со стадии НКСС (в критических условиях температура срыва  $\theta_2$  исчезает в связи с размыканием изоклины).

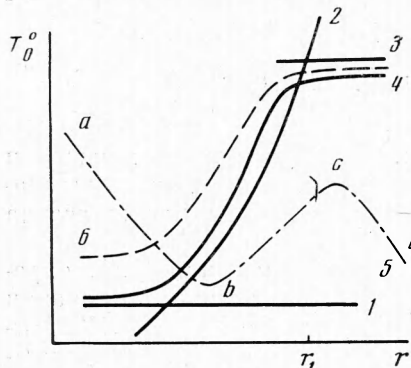
Поскольку

$$A \sim B / (1 - B) r^2, \quad \Omega \sim r^{1-n} \exp(-E / RT_0)$$

то связь между критической температурой  $T_0^\circ$  и размером частиц определяется соотношением

$$(3.5) \quad \exp(-E / RT_0^\circ) = \text{const } r^{n+1} (1 - B)^2 / B^2$$

С увеличением размера частиц эффект уменьшения реакционной поверхности ( $n = 0$  [2]) усиливается влиянием торможения окиснной пленкой



Фиг. 4

( $n = 1$ ) химической реакции, поэтому  $T_0^\circ$  при  $n = 1$  зависит от  $r$  сильнее, чем в случае  $n = 0$  (на фиг. 4 участок  $bc$  пунктирной линии —  $n = 0$ , линия  $2 — n = 1$  по формуле (3.5)). Формула (3.4) приближенно применима пока критическая температура взвеси меньше критической температуры воспламенения одиночной частицы (кривая 3 на фиг. 4). При размерах частиц, больших  $r_1$  ( $r_1$  — размер, при котором кривые 2 и 3 пересекаются), температура воспламенения взвеси близка к температуре воспламенения одиночной частицы и не зависит от размера [5].

В области малых размеров применимость (3.4) ограничивает критические условия по выгоранию. Смысл этих условий заключается в том, что горючего материала в газовзвеси может не хватить для достижения температуры срыва с НКСС и частицы полностью выгорают в стадии НКСС при температуре, близкой к температуре газа. Выпишем критическое условие по выгоранию в размерном виде

$$(3.6) \quad T_0^\circ = T_2 (\ln u^{-1}) - BQ / c$$

Соотношение (3.6) является приближенным, поскольку в исходной системе (1.1) — (1.3) не учтено выгорание окислителя и изменение реакционной поверхности частиц в ходе предвзрывного разогрева. Параметр  $\Omega \sim r^{1-n}$  при  $n = 1$  не содержит размера частицы, поэтому температура срыва с НКСС  $T_2 (\ln u^{-1})$ , а вместе с ней и критическая начальная температура  $T_0^\circ$  от размера частицы не зависят (линия 1 на фиг. 4). Полная зависимость  $T_0^\circ (r)$  имеет S-образную форму (кривая 4 на фиг. 4). С уменьшением концентрации частиц  $T_0^\circ$  смещается вверх (кривая 6 на фиг. 4).

Для сравнения пунктирной линией 5 показана зависимость критической температуры от размера для газовзвеси частиц, реагирующих по гетерогенному механизму ( $n = 0$  [2]). Участки этой кривой  $ab$ ,  $bc$ ,  $cd$  соответствуют критическим условиям по выгоранию, теплоотводу и критическому условию воспламенения одиночной частицы.

Взаимное расположение кривых 1 и 2 на фиг. 4 показывает, что переход по размеру частиц в область, где существенно выгорание, означает одновременно и удаление от критического условия по теплоотводу, а в области, где воспламенение ограничивается теплоотводом, можно пренебречь выгоранием. Это приближенно оправдывает раздельный вывод критических условий по теплоотводу (3.4) и по выгоранию (3.6).

Поступила 30 VII 1973

#### ЛИТЕРАТУРА

1. Клячко Л. А. Воспламенение совокупности частиц при гетерогенной реакции. Теплоэнергетика, 1966, № 8.
2. Руманов Э. Н., Хайкин Б. И. Критические условия самовоспламенения совокупности частиц. Физика горения и взрыва, 1969, т. 5, № 1.
3. Лисицын В. И., Руманов Э. Н., Хайкин Б. И. О периоде индукции при воспламенении совокупности частиц. Физика горения и взрыва, 1971, т. 7, № 1.
4. Гуревич М. А., Озеров Г. Е., Степанов А. М. Критические условия самовоспламенения полидисперсной газовзвеси частиц твердого горючего. Физика горения и взрыва, 1971, т. 7, № 1.
5. Хайкин Б. И., Блошенко В. Н., Мержанов А. Г. О воспламенении частиц металлов. Физика горения и взрыва, 1970, № 4, т. 6.
6. Франк-Каменецкий Д. А. Диффузия и теплопередача в химической кинетике. М., «Наука», 1972.
7. Пухил П. Ф., Беляев А. Ф., Фролов Ю. В., Логачев Ю. С., Коротков А. И. Горение порошкообразных металлов в активных средах. М., «Наука», 1972.